

## 裸地斜面における流路の形成過程に関する研究(Ⅱ)

京都大学防災研究所 正員 芦田和男  
 大学院学生員 田中健二

まえがき 裸地斜面における流出土砂量を予測するための1つの段階として、前報<sup>1)</sup>では実験にもとづき、斜面全幅のうち流路の占める割合を与えた上で侵食量を算出した。

その後、個々の流路の形状や蛇行特性に関するいくつつかのパラメータを含んだ、合流モデルによる確率的シミュレーション<sup>2)</sup>で、流路配列の形成過程を模擬してきたが、本報では、そのパラメータと水理量の関係を見出すために行なった実験について報告し、側方侵食性流路の基本特性である平衡横断面形状について考察する。

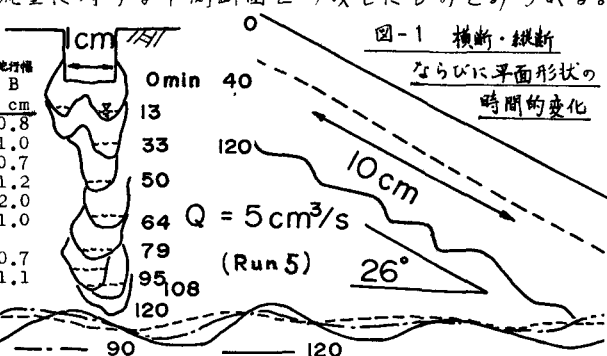
1. 急斜面上の流路の形成に関する実験 幅1cmの長方形断面をもつ直線平坦流路に定常流を与える、流路の縦断、横断、ならびに平面形状の変化を測定した。河道材料は1mmの均一砂とベントナイトと水の混合物(重量比9:1:3)で、透水性はきわめて小さい。

表-1に示すように、条件によれば河床波や蛇行が顕著に現われるが、蛇行波長が河床波長の倍以上あるたり、蛇行が下流に伝播するにもかかわらず河床波が上流に伝播したり、Run 3のように河床波が卓越しているときに蛇行がほとんどみられないなど、両者には相違点が多い。またSand Wavesの特性が $L/W = 7 \sim 15$ 、 $A/D = 5$ 、 $A/D \leq \frac{1}{6}$ 、 $A/D = \frac{1}{5} \sim \frac{1}{20}$ と表わされる<sup>3)</sup>のに対し、本実験では $L/W$ や $A/D$ は類似の値をもつが、 $A/D = 10 \sim 20$ 、 $A/D = 1 \sim 3$ となっており、図-1の横断図にみられるような漸次階段状に連なる河床波の特徴が現われている。これには差っぽにおける跳水が大きく関与しているものと思われる。

以上は波長や振幅がほぼ一定にならぬ後特性であるが、図-1からわかるように、このような状態が達成されるにはかなりの時間を要する。これに対して横断面形状はきわめて早く平衡状態を形成し、しかもそれが全く異なった条件下で経験的に知られた、流路幅が流量の平方根に比例するというregime theoryに、係数まで含め同一一致することは、きわめて興味深い。図-1の横断図によれば、Run 5は初期流路幅が平衡流路幅にくらべて著しく過大であるため流路がまず二分され、それが半減した流量に対する平衡断面を形成した後、蛇行が生じて上流で合流し、元の流量に対する平衡断面を形成したものとみられる。

表-1 実験概要

流量 cc/s	こう配	時間 min	水面幅 cm	水深 cm	河床波高		蛇行波高		蛇行幅 cm
					A cm	A cm	L cm	B cm	
Run1	5	0.225	180	1.33	0.32	8.86	0.93	17.2	0.8
Run2	9	0.225	180	1.20	0.32	6.26	0.97	17.4	1.0
Run3	20	0.225	120	2.20	0.63	5.48	1.15	62.9	0.7
Run4	2	0.438	210	0.90	0.27	3.58	0.34	13.5	1.2
Run5	5	0.438	120	1.26	0.34	4.44	0.79	7.8	2.0
Run6	10	0.438	90	1.68	0.36	4.74	0.96	11.9	1.0
Run7	1	0.707	18	-	-	-	-	-	-
Run8	2	0.707	105	0.83	0.21	4.22	0.58	12.7	0.7
Run9	5	0.707	75	1.20	0.35	2.58	0.58	11.9	1.1



2) 侵食が卓越する流路の平衡横断面形状 前節で述べたように通水断面形状は急速にある平衡状態に収束し、蛇行や河床波とは一応独立したものと考えられるので、等流における平衡断面形状として図-2に示すように、侵食は進行するが一定の通水断面を保ちながら鉛直に低下する流路を考える。壁面に垂直な浸食速度をEとすれば、この条件は  $E/\cos\theta = \text{一定}$  となる。Eの値は土質と水流の両方に依存するが、ベントナイトに関する限り、掃流力の大きい範囲で  $E \propto u_*$  となることがわかつており、この場合には平衡断面の条件は  $\gamma/\cos^2\theta = \text{一定}$  となる。

任意の断面形状における掃流力の分布を求めるることはきわめて困難であるが、ここでは左右対称断面を考え、図-2に示すように対称面・水面・壁面およびそれにたてた垂面によって囲まれる流体部分の断面積を周辺に沿って微分し、 $A = f \int (dA/ds) I$  と近似する。図-3に円弧断面の掃流力をいくつかの方法で求めたものを示すが、この方法は  $\gamma = \rho g h I \cos\theta$  とするのにくらべてはるかに精度がよい。

図-4は実験結果から  $f = 0.5$ 、 $E/u_* = 0.75 \times 10^7$  とし、流量  $10 \text{ cm}^3/\text{s}$ 、こう配沿いの場合の流路の変形過程を、上のモデルの差分化によって数値的に模擬したものである。初期断面を広げると中央部で、狭へすると周縁部で浸食が卓越し、最大水深が水面幅の約3となる断面に急速に変形していく様子は、実験と一致する。

一方、上に述べた掃流力の分布を平衡断面の条件式に代入すれば、つきの微分方程式が得られるが、流路中央における掃流力と2次元流れの掃流力  $P_g D I$  の比を表わすじの値に任意性が残っており、図-4にみられる平衡断面が初期条件に依存して、ある範囲に分布するかどうかという問題を提起してほしい。

$$\sqrt{1 + (\frac{dy}{dx})^2} [1 + (\frac{dy}{dx})^2 - \frac{1}{2} \frac{d^2y}{dx^2} L] L = C, \quad L = \min \left( \frac{1-y}{x \frac{dy}{dx}}, \frac{y}{\frac{dy}{dx}} \right), \quad \left. \begin{array}{l} Y=0 \\ \frac{dy}{dx}=0 \end{array} \right\} \text{at } x=0$$

ここに、各記号の意味は図-5に示すとおりである。

あとがき 以上、斜面における单一流路の形成過程について実験ならびに理論的に考察してきたが、これを流路配列の問題にまで発展させるには、蛇行幅に関する研究を進めねばならず、前節までに挙げた問題と合わせて、2次流の影響に着目したいと考えている。

なお、本研究の数値計算にあたっては、京都大学防災資料センター計算機を利用した。

### 参考文献

- 1) 芦田・田中・坪香:裸地斜面における流路の形成過程に関する研究、昭49. 関西支部
- 2) 芦田・田中:裸地斜面における流路形成過程の確率的シミュレーション、昭49. 全国大会
- 3) 水理委員会活動実績における河床形態と粗度、土論20号、P.74, .973.

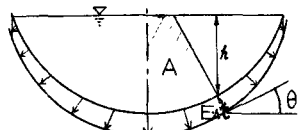


図-2 平衡断面おおむね掃流力モデル

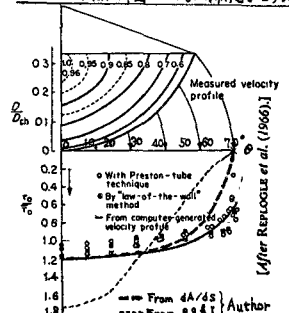


図-3 円弧断面の掃流力分布

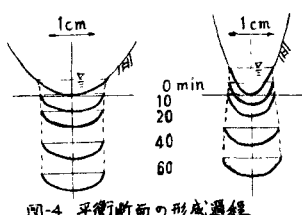
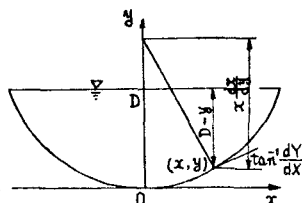


図-4 平衡断面の形成過程



$$X = x/D, \quad Y = y/D$$

$$L = \min \{D-Y, x \frac{dy}{dx}\} / D$$

$$\left( \frac{dy}{dx} \right)_0 = \begin{cases} 2(1-c) & (c \leq \frac{1}{2}) \\ 1/(2c) & (c \geq \frac{1}{2}) \end{cases}$$

図-5 平衡断面の記号説明